

# ДИСПЕРСИОННОЕ УРАВНЕНИЕ ДЛЯ ПРОДОЛЬНОЙ ВОЛНЫ В СЛОИСТОЙ СРЕДЕ С НЕОДНОРОДНЫМИ ГРАНИЧНЫМИ УСЛОВИЯМИ ПРИ РАЗЛИЧНЫХ НАПРАВЛЕНИЯХ РАСПРОСТРАНЕНИЯ

© 2020 г. К.Е. Аббакумов<sup>1,\*</sup>, А.В. Вагин<sup>1,\*\*</sup>

<sup>1</sup>Санкт-Петербургский государственный электротехнический университет «ЛЭТИ» им. В.И. Ульянова (Ленина), Россия 197376 Санкт-Петербург, ул. Профессора Попова, 5  
E-mail: \*keabbakumov@etu.ru; \*\*av.vagin@bk.ru

Поступила в редакцию 24.09.2019; после доработки 21.10.2019  
Принята к публикации 01.11.2019

Исследовано распространение продольной волны в слоистой среде с неоднородными граничными условиями при двух вариантах геометрии распространения волны относительно слоев структуры: параллельно и перпендикулярно слоям. Выведены дисперсионные уравнения для продольной волны для рассматриваемых случаев распространения. Решены относительно волнового числа найденные дисперсионные уравнения для нахождения зависимостей эффективных скоростей продольной волны от относительной толщины слоя и параметров материалов. Полученные зависимости используются в задачах нахождения физико-механических характеристик среды на основе акустических измерений.

*Ключевые слова:* продольная волна, дисперсионное уравнение, слоистая среда, неоднородные граничные условия.

DOI: 10.31857/S0130308220010030

## ВВЕДЕНИЕ

Распространению продольных волн в слоистом микронеоднородном полупространстве уделяется большое внимание. Результаты анализа распространения продольных волн в микронеоднородной слоистой среде используются для задач определения и контроля основных физико-механических характеристик материала, что является важной задачей неразрушающего контроля качества материалов, изделий и конструкций, а также структуроскопии.

При четкой аналитической связи между параметрами волны и свойствами материала контролируемое свойство может быть определено с высокой степенью достоверности. Так, модуль Юнга, модуль сдвига, коэффициент Пуассона однозначно определяются по измеренным значениям скоростей распространения продольной и поперечной волн.

В [1] приведено исследование распространения продольных волн в мелкослоистой среде с однородными граничными условиями на границах слоев при распространении параллельно слоям структуры, результатом которого является вывод дисперсионного уравнения для продольной волны. Стоит отметить, что ранее в [2, 3] решение дисперсионного уравнения относительно волнового числа и построение зависимости скорости продольной волны от относительной толщины слоя материала и параметров сред приводили к некоторым ошибкам, которые заключались в том, что при увеличении относительной толщины слоя зависимость начинала спадать, что не подчиняется физическому смыслу при распространении волны в однородной среде.

Аналогично рассмотренному выше случаю, в [4, 5] рассматривается распространение продольной волны в слоистой неоднородной среде, где получены зависимости продольной волны, распространяющейся в структуре «сталь—сталь» с шероховатостью между прилегающими средами. Полученные результаты также разнятся с представлениями о распространении волн в неоднородных средах, так как полученные зависимости не отражают правильных значений скоростей распространения в поперечной плоскости исследуемой структуры.

Распространение плоских волн в слоистом композитном материале с начальными напряжениями периодической структуры рассматривается в [6, 7], где все результаты получены для полного контакта слоев, однако не приводится решение дисперсионного уравнения волны относительно волнового числа, что, в свою очередь, не дает четкой аналитической связи между параметрами распространяющейся волны (скорость) и свойствами контролируемого материала. Аналогичные исследования для случая полного проскальзывания слоев представлены в статье [8]. Поскольку в этих работах получены результаты для двух крайних случаев контакта между слоями, то представляет интерес их сравнение для оценки распространения волн при других видах степеней жесткости [9, 10].

Стоит отметить, что данное сравнение применительно к распространению волн в слоистом композите отсутствует в классической теории (без начальных напряжений) [11]. В [12] рассмотре-

но распространение волн в среде с периодически расположенными твердыми слоями при полном контакте. Результаты этих исследований также приведены в монографии [3].

Разнообразие конструкционных материалов, используемых в современном производстве чрезвычайно велико, и имеет устойчивую тенденцию к нарастанию. Расширение номенклатуры используемых материалов опирается на появление новых технологий, что, в свою очередь, сопровождается и появлением новых видов неоднородностей, для обнаружения которых необходимо создавать новые или совершенствовать уже имеющиеся средства контроля. Разработка таких средств контроля должна опираться на физические предпосылки, связанные с особенностями волновых процессов в неоднородных материалах.

Особый вид неоднородных сред представляют слоистые структуры, хорошо моделирующие свойства не только сред геологического происхождения, но и композиционных материалов, а также материалов, используемых в аддитивных технологиях. Для определения требуемых параметров в таких средах с помощью ультразвуковых средств контроля необходимо проводить предизмерительные изыскания, предпринимаемые с целью получения максимального количества информации о структуре исследуемой среды.

Целью статьи является вывод дисперсионного уравнения для продольной волны, распространяющейся параллельно и перпендикулярно слоям слоистой структуры с неоднородными граничными условиями. То есть необходимо рассмотреть два случая геометрии распространения продольной волны: распространение в неоднородной среде параллельно и перпендикулярно слоям. Однородная среда описывается граничными условиями, учитывающими полную передачу составляющих упругих смещений и упругих напряжений. В качестве неоднородной среды рассматриваем микронеоднородную структуру, описываемую граничными условиями, учитывающими неполную передачу составляющих упругих смещений при сохранении передачи упругих напряжений [13].

Под микронеоднородными слоистыми средами понимается слоистая структура, составленная из неоднородной слоистой среды и включений, расстояние между которыми и их размеры много меньше длины волны, распространяющейся в этой среде [14]. Среда, состоящая из чередующихся слоев двух однородных и изотропных веществ, называется слоистой. Если слоистая среда рассматривается в среднем, то есть когда слои структуры достаточно тонкие, причем условие тонкости слоев означает, что их толщины малы по сравнению с длинами волн сжатия и сдвига в материалах этих сред, то она рассматривается уже как однородная, но анизотропная, при этом такая среда называется мелкослоистой [1, 3].

Микронеоднородные слоистые среды, изготовление которых не имеет каких-либо технологических трудностей, а свойства могут быть очень разнообразны (анизотропия скоростей распространения и поглощений как для волн сжатия, так и для волн сдвига), представляют несомненный практический интерес в акустике, авиации и космической технике, сейсмологии, акустооптике.

**Описание распространения волн в слоистых средах.** Рассмотрим модель слоистого пространства с чередующимися слоями толщиной  $a$  и  $b$ , параметрами  $\rho, \lambda, \mu$  — для первой среды и  $\bar{\rho}, \bar{\lambda}, \bar{\mu}$  — для второй среды (рис. 1). В качестве первой среды рассматриваем сталь, в качестве второй — графит. Общая толщина слоя принимается равной 1 мм, а частота ультразвука при моделировании процессов определения скорости волны на основе акустических измерений — 1 МГц.

На рис. 1  $\rho$  — плотность среды,  $\lambda, \mu$  — параметры Лямэ. Аналогичные параметры для второй среды обозначаем с чертой сверху.

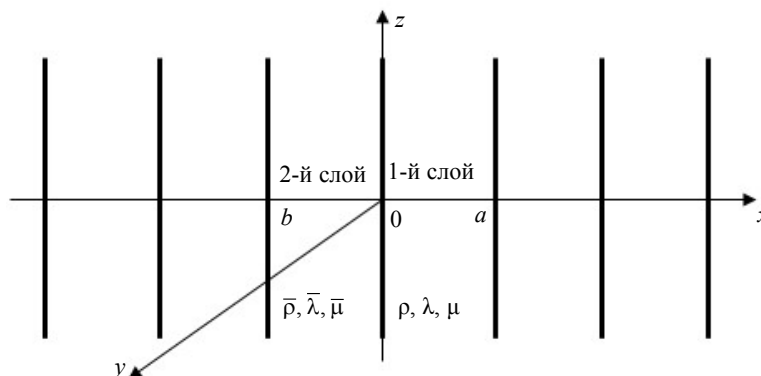


Рис. 1. Модель слоистой структуры.

Слоистая среда, представленная на рис. 1, в отношении своих упругих свойств является кристаллом гексагональной симметрии, то есть для описания ее полного упругого поведения необходимо и достаточно задать пять упругих постоянных. Однако среда с микротрещинами может быть описана с помощью эффективных динамических модулей упругости, расчет которых является непростой задачей и достигается на основе методов статистической механики [15] и метода самосогласованного поля [16].

Волновое уравнение для продольной волны, распространяющейся в слоистой структуре, имеет следующий вид:

$$\rho \frac{\partial^2 \xi_j}{\partial t^2} - (\lambda + 2\mu) \Delta \xi_j = 0,$$

где  $\xi_j$  — вектор продольного смещения,  $\Delta \xi_j = \text{graddiv}(\xi_j)$ .

Общее решение для волнового уравнения для продольной волны запишем через частное решение, которое разделено на косинусную (симметричную) и синусоидальную (несимметричную) части относительно середины слоев [3].

Для слоя материала 1 имеем следующие выражения для продольных смещений в направлении оси  $x$  и  $z$ :

$$\xi_{lx} = P(z)e^{-ikx}, \quad \xi_{lz} = \frac{P'(z)}{ik} e^{-ikx}, \quad \xi_{zx} = -\frac{Q'(z)}{ik} e^{-ikx}, \quad \xi_{zz} = Q(z)e^{-ikx}, \quad (1)$$

где  $\xi_{lx}$ ,  $\xi_{lz}$  — продольные и  $\xi_{zx}$ ,  $\xi_{zz}$  — поперечные смещения в направлении  $x$  и  $z$  соответственно,  $k$  — волновое число. Причем:

$$\begin{aligned} P(z) &= A \cos \alpha \left( z - \frac{a}{2} \right) + B \sin \alpha \left( z - \frac{a}{2} \right), \quad \alpha^2 = k_l^2 - k^2, \\ Q(z) &= C \cos \beta \left( z - \frac{a}{2} \right) + D \sin \beta \left( z - \frac{a}{2} \right), \quad \beta^2 = k_t^2 - k^2, \end{aligned} \quad (2)$$

где  $A, B, C, D$  — пока неопределенные постоянные;  $k_p, k_t$  — волновые числа продольной и поперечной волн соответственно.

Выражения для компонент тензора механических напряжений для первого слоя:

$$\sigma_{xz} = 2\mu \left( P'(z) + \frac{k^2 - \beta^2}{2ik} Q(z) \right) e^{-ikx}, \quad \sigma_{yz} = 0, \quad \sigma_{zz} = \left( \frac{\lambda k_l^2 + 2\mu \alpha^2}{ik} P(z) + 2\mu Q'(z) \right) e^{-ikx}. \quad (3)$$

Аналогичные параметры во второй среде для уравнений (1) — (3) обозначаются с чертой сверху.

Для описания поведения упругих смещений и механических напряжений на границах между слоями введем неоднородные граничные условия, описывающие неполную передачу компонент упругих смещений при сохранении передачи механических напряжений для каждого слоя структуры:

$$\begin{aligned} \xi_x(0) &= \overline{\xi_x(0)} - \frac{\overline{\sigma_{xz}(0)}}{KGT}, \quad \sigma_{xz}(0) = \overline{\sigma_{xz}(0)}, \\ \xi_z(0) &= \overline{\xi_z(0)} - \frac{\overline{\sigma_{zz}(0)}}{KGN}, \quad \sigma_{zz}(0) = \overline{\sigma_{zz}(0)}, \end{aligned} \quad (4)$$

где  $KGT, KGN$  — тангенциальный и нормальный коэффициенты жесткости.

Нормальный коэффициент жесткости определяет передачу нормальных составляющих упругих смещений, а тангенциальный — передачу касательных составляющих. Коэффициенты жесткости зависят от коэффициента перфорации, характеризующего степень сплошности между прилегающими средами структуры «сталь—графит», а также от величины шероховатости.

Разрывы в передаче упругих смещений на плоской границе двух упругих полупространств возникают за счет совокупности взаимодействия выступов и впадин микрорельефа. Выступы и впадины микрорельефа можно смоделировать введением величины шероховатости в коэффициенты жесткости. Тогда смоделированная шероховатость будет определяться средним расстоянием между соседними неоднородностями на контактирующих поверхностях [17].

Построим графические зависимости нормального (рис. 2) и тангенциального (рис. 3) коэффициентов жесткости от величины шероховатости  $R_z$ .

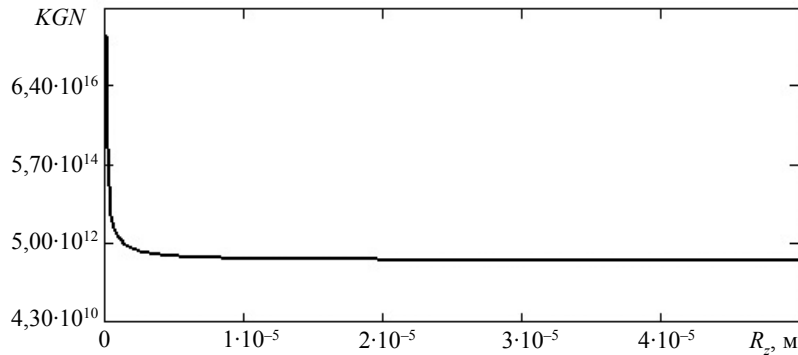


Рис. 2. Зависимость нормального коэффициента жесткости от величины шероховатости.

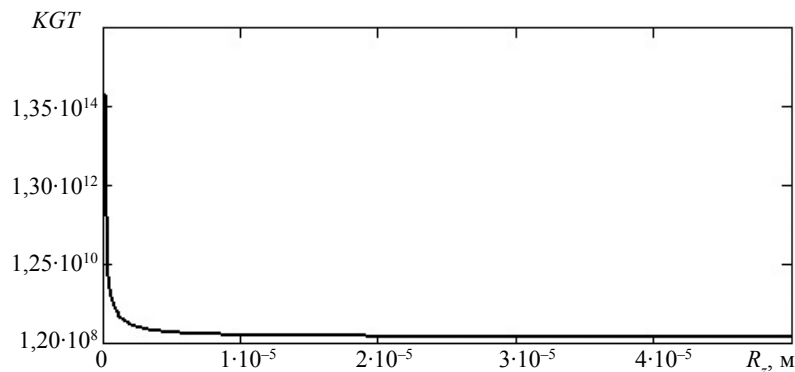


Рис. 3. Зависимость тангенциального коэффициента жесткости от величины шероховатости.

В данной работе при дальнейших расчетах величина шероховатости принималась равной  $R_z = 40$  мкм, а среднее расстояние между соседними неоднородностями на контактирующих поверхностях равным  $0,1$  мкм.

Как видно из графических зависимостей на рис. 2 и 3, при  $R_z = 40$  мкм оба коэффициента жесткости имеют минимальные значения, что говорит о нарушенной сплошности между средами, которая обуславливается наличием выступов и впадин на поверхности рассматриваемых сред.

Введем в рассмотрение также граничные условия периодичности, которые описывают непрерывное поведение упругих смещений и механических напряжений на границе слоев:

$$\begin{aligned} \xi_x(a) &= \overline{\xi_x(b)}, \quad \sigma_{xz}(a) = \overline{\sigma_{xz}(b)}, \\ \xi_z(a) &= \overline{\xi_z(b)}, \quad \sigma_{zz}(a) = \overline{\sigma_{zz}(b)}, \end{aligned} \tag{5}$$

то есть указанные величины в первом слое при  $z = a$  должны равняться тем же величинам во втором слое при  $z = b$ . Подставляя компоненты для упругих смещений (1) и механических напряжений (3) в неоднородные граничные условия (4), получаем 8 уравнений для постоянных  $A, B, C, D, \overline{A}, \overline{B}, \overline{C}, \overline{D}$ , которые распадаются на продольную и поперечную волны [18].

**Распространение продольной волны параллельно слоям.** Пусть в направлении оси  $z$  распространяется продольная волна. Для продольной волны коэффициенты  $B$  и  $C$  в первой и во второй среде равны 0. Тогда с учетом условия  $B = C = \overline{B} = \overline{C} = 0$  продольные смещения в (1) будут четны относительно середины слоев, благодаря чему в слоистой структуре будет иметь место только сжатие. Тогда подставляя соответствующие четные компоненты упругих смещений и механических напряжений в неоднородные граничные условия, получаем четыре уравнения для продольной волны [1]:

$$\begin{aligned}
Aik \cos\left(\alpha \frac{a}{2}\right) - D\beta \cos\left(\beta \frac{a}{2}\right) &= \bar{A} \left[ ik \cos\left(\frac{\bar{\alpha} b}{2}\right) + \frac{2ik\bar{\mu}\bar{\alpha} \sin\left(\frac{\bar{\alpha} b}{2}\right)}{KGT} \right] + \bar{D} \left[ \frac{\bar{\mu}(k^2 - \bar{\beta}^2) \sin\left(\frac{\bar{\beta} b}{2}\right)}{KGT} - \bar{\beta} \cos\left(\frac{\bar{\beta} b}{2}\right) \right], \\
A\alpha \sin\left(\alpha \frac{a}{2}\right) - Dik \sin\left(\beta \frac{a}{2}\right) &= \bar{A} \left[ \frac{(\bar{\lambda}k_i^2 + 2\bar{\mu}\bar{\alpha}^2) \cos\left(\frac{\bar{\alpha} b}{2}\right)}{KGN} - \bar{\alpha} \sin\left(\frac{\bar{\alpha} b}{2}\right) \right] - \bar{D} \left\{ ik \sin\left(\frac{\bar{\beta} b}{2}\right) - \frac{2ik\bar{\mu}\bar{\beta} \cos\left(\frac{\bar{\beta} b}{2}\right)}{KGN} \right\}, \\
A2\mu\alpha ik \sin\left(\alpha \frac{a}{2}\right) + D\mu(k^2 - \beta^2) \sin\left(\beta \frac{a}{2}\right) &= -\bar{A}2\bar{\mu}\bar{\alpha} ik \sin\left(\frac{\bar{\alpha} b}{2}\right) + \bar{D}\bar{\mu}(k^2 - \bar{\beta}^2) \sin\left(\frac{\bar{\beta} b}{2}\right), \\
A(\lambda k_i^2 + 2\mu\alpha^2) \cos\left(\alpha \frac{a}{2}\right) + D2\mu\beta ik \cos\left(\beta \frac{a}{2}\right) &= \bar{A}(\bar{\lambda}k_i^2 + 2\bar{\mu}\bar{\alpha}^2) \cos\left(\frac{\bar{\alpha} b}{2}\right) + \bar{D}2\bar{\mu}\bar{\beta} ik \cos\left(\frac{\bar{\beta} b}{2}\right).
\end{aligned}$$

Составим из этих четырех уравнений детерминант и приравняем его к нулю. Очевидно, что система четырех уравнений является однородной и совместной, то есть всегда имеет решение:

$$\begin{vmatrix}
ik \cos\alpha\left(\frac{a}{2}\right) & -\beta \cos\beta\left(\frac{a}{2}\right) & ik \cos\bar{\alpha}\left(\frac{b}{2}\right) + \frac{2\bar{\mu}\bar{\alpha} ik \sin\bar{\alpha}\left(\frac{b}{2}\right)}{KGT} & \frac{\bar{\mu}(k^2 - \bar{\beta}^2) \sin\bar{\beta}\left(\frac{b}{2}\right)}{KGT} - \bar{\beta} \cos\bar{\beta}\left(\frac{b}{2}\right) \\
\alpha \sin\alpha\left(\frac{a}{2}\right) & -ik \sin\beta\left(\frac{a}{2}\right) & \frac{(\bar{\lambda}k_i^2 + 2\bar{\mu}\bar{\alpha}^2) \cos\bar{\alpha}\left(\frac{b}{2}\right)}{KGN} - \bar{\alpha} \sin\bar{\alpha}\left(\frac{b}{2}\right) & ik \sin\bar{\beta}\left(\frac{b}{2}\right) - \frac{2\bar{\mu}\bar{\beta} ik \cos\bar{\beta}\left(\frac{b}{2}\right)}{KGN} \\
2\mu\alpha ik \sin\alpha\left(\frac{a}{2}\right) & \mu(k^2 - \beta^2) \sin\beta\left(\frac{a}{2}\right) & -2\bar{\mu}\bar{\alpha} ik \sin\bar{\alpha}\left(\frac{b}{2}\right) & \bar{\mu}(k^2 - \bar{\beta}^2) \sin\bar{\beta}\left(\frac{b}{2}\right) \\
(\lambda k_i^2 + 2\mu\alpha^2) \cos\alpha\left(\frac{a}{2}\right) & 2\mu\beta ik \cos\beta\left(\frac{a}{2}\right) & (\bar{\lambda}k_i^2 + 2\bar{\mu}\bar{\alpha}^2) \cos\bar{\alpha}\left(\frac{b}{2}\right) & 2\bar{\mu}\bar{\beta} ik \cos\bar{\beta}\left(\frac{b}{2}\right)
\end{vmatrix} = 0.$$

Решая данный определитель разложением по первой строке с учетом граничных условий периодичности (5), получим дисперсионное уравнение, определяющее значение скорости продольной волны  $c_l = \omega/k$  ( $\omega$  — частота):

$$\begin{aligned}
4(\mu - \bar{\mu})^2 X \bar{X} \left[ 1 - \frac{\bar{k}_i^2 \operatorname{ctg}\left(\frac{\bar{\beta}b}{2}\right)}{KGN} \right] + \omega^2 \rho \left[ \frac{\omega^2 \rho}{k^2} - 4(\mu - \bar{\mu}) \right] \bar{X} \cdot \operatorname{tg}\left(\frac{\beta a}{2}\right) \left[ 1 - \frac{k^2 \operatorname{ctg}\left(\frac{\bar{\alpha}b}{2}\right)}{KGT} \right] + \omega^2 \bar{\rho} \times \\
\times \left[ \frac{\omega^2 \bar{\rho}}{k^2} + 4(\mu - \bar{\mu}) + \frac{\bar{\rho} k^2 \operatorname{ctg}\left(\frac{\bar{\alpha}b}{2}\right)}{KGT} \right] X \cdot \operatorname{tg}\left(\frac{\bar{\beta}b}{2}\right) - \frac{\omega^4 \rho \bar{\rho}}{k^2 \bar{k}_i^2} \left[ Y \operatorname{tg}\left(\frac{\bar{\beta}b}{2}\right) + \bar{Y} \operatorname{tg}\left(\frac{\beta a}{2}\right) \right] \left[ 1 - \frac{\bar{\rho} \bar{k}_i^2 \operatorname{ctg}\left(\frac{\bar{\alpha}b}{2}\right)}{KGN} \right] = 0,
\end{aligned} \tag{6}$$

где введены следующие обозначения:

$$\begin{aligned}
X &= k^2 \operatorname{tg}\left(\frac{\beta a}{2}\right) + \alpha \beta \operatorname{tg}\left(\frac{\alpha a}{2}\right), \quad \bar{X} = k^2 \operatorname{tg}\left(\frac{\bar{\beta} b}{2}\right) + \bar{\alpha} \bar{\beta} \operatorname{tg}\left(\frac{\bar{\alpha} b}{2}\right), \\
Y &= k^2 \operatorname{tg}\left(\frac{\beta a}{2}\right) - \alpha \bar{\beta} \operatorname{tg}\left(\frac{\bar{\alpha} b}{2}\right), \quad \bar{Y} = k^2 \operatorname{tg}\left(\frac{\bar{\beta} b}{2}\right) - \alpha \bar{\beta} \operatorname{tg}\left(\frac{\alpha a}{2}\right).
\end{aligned}$$

Дисперсионное уравнение (6) определяет волновое число продольной волны при любых значениях толщин слоев рассматриваемой структуры «сталь—графит». Если в данном уравнении коэффициенты жесткости  $KGT, KGN \rightarrow \infty$ , что соответствует сплошному контакту на границе между средами, то получим дисперсионное уравнение для однородной среды, что соответствует результатам, полученным в [1].

Решим дисперсионное уравнение (6) относительно волнового числа и построим графическую зависимость скорости продольной волны  $c_l$  от относительной толщины слоя  $n = \frac{a+b}{a}$  при распространении волны параллельно слоям (рис.4).

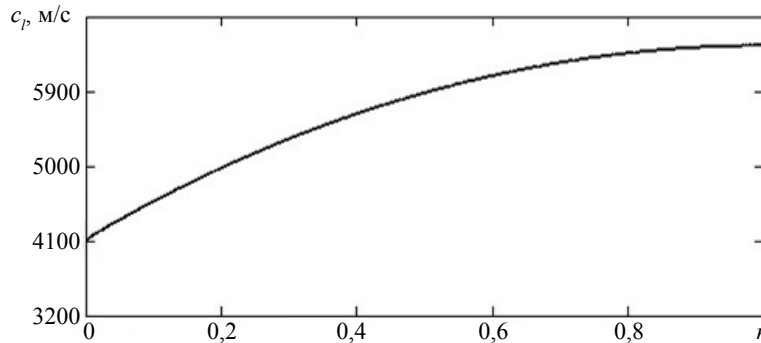


Рис. 4. Зависимость скорости продольной волны от относительной толщины слоя при распространении параллельно слоям.

Ранее, в [2, 3], вид данной графической зависимости приводил к некоторым ошибкам, которые заключались в том, что при увеличении относительной толщины слоя зависимость начинала убывать, то есть скорость продольной волны в структуре «сталь—графит» начинала стремиться к значению скорости в графите, что противоречит физическому смыслу при прохождении волны из более плотной среды (сталь) в более мягкую (графит). Полученная зависимость используется в задачах определения физико-механических характеристик (модуль упругости, коэффициент Пуассона, модуль Юнга) материалов на основе акустических измерений.

**Распространение продольной волны перпендикулярно слоям.** Пусть в направлении оси  $x$  распространяется продольная волна. Как уже было сказано, для такой волны коэффициенты  $B$  и  $C$  в первой и во второй средах равны 0. При распространении продольной волны перпендикулярно слоям, отличной от нуля будет только компонента упругого смещения  $\xi_{lz}^\perp = P(z)e^{-ikx}$  [19]. Для случая поперечной волны, в которой смещение параллельно слоям, отличной от нуля будет компонента упругого смещения  $\xi_{lz}^\perp = Q(z)e^{-ikx}$ . При такой геометрии распространения волн, их распространение можно рассматривать независимо друг от друга [20].

Как известно из [21], если матрица-функция  $A(t)$  периодична, то есть  $A(t) \equiv A(t+T)$ , то любая ее фундаментальная матрица  $\Phi(t)$  имеет вид  $\Phi(t) = \Psi(t)e^{Bt}$ , где  $B$  — постоянная, а  $\Psi(t)$  — непрерывно дифференцируемая функция. Данное утверждение описывает теорему Флоке.

Тогда, согласно теореме Флоке, в выражениях, описывающих распространение волн перпендикулярно слоистой структуре (1), величины  $P(z)$  и  $Q(z)$  должны быть периодическими функциями с периодом структуры  $h = a + b$ . Неоднородные граничные условия и условия периодичности должны выполняться для амплитуд  $\xi_{lx}^\perp$  и  $\sigma_{xz}^\perp$  в продольной волне, и для амплитуд  $\xi_{lz}^\perp$  и  $\sigma_{zz}^\perp$  в поперечной волне.

Подставляя соответствующие компоненты для случая перпендикулярного распространения продольной волны в неоднородные граничные условия (4), получаем уравнения для коэффициентов  $A$  и  $D$  в первой и во второй средах:

$$Aik \cos\left(\alpha \frac{a}{2}\right) - D\beta \cos\left(\beta \frac{a}{2}\right) = \bar{A} \left[ ik \cos\left(\bar{\alpha} \frac{b}{2}\right) + \frac{2ik\bar{\mu}\bar{\alpha} \sin\left(\bar{\alpha} \frac{b}{2}\right)}{KGT} \right] + \bar{D} \left[ \frac{\bar{\mu}(k^2 - \bar{\beta}^2) \sin\left(\bar{\beta} \frac{b}{2}\right)}{KGT} - \bar{\beta} \cos\left(\bar{\beta} \frac{b}{2}\right) \right],$$

$$A \cos\left(\alpha \frac{a}{2}\right) \left[ 1 + \frac{1}{KGN} \left( \frac{\lambda \bar{k}_l^2 + 2\mu \bar{\alpha}^2}{ik} \right) \right] - D \sin\left(\beta \frac{a}{2}\right) = \bar{A} \cos\left(\bar{\alpha} \frac{b}{2}\right) - \bar{D} \left[ \sin\left(\beta \frac{a}{2}\right) + 2\mu \bar{\beta} \cos\left(\bar{\beta} \frac{b}{2}\right) \right],$$

$$A 4ik\mu\alpha \sin\left(\alpha \frac{a}{2}\right) - D(k^2 - \beta^2) \sin\left(\beta \frac{a}{2}\right) = \bar{A} 4ik\mu\bar{\alpha} \sin\left(\bar{\alpha} \frac{b}{2}\right) - \bar{D}(k^2 - \bar{\beta}^2) \sin\left(\bar{\beta} \frac{b}{2}\right),$$

$$A(\lambda k_l^2 + 2\mu\alpha^2) \cos\left(\alpha \frac{a}{2}\right) + D 2\mu\beta ik \cos\left(\beta \frac{a}{2}\right) = \bar{A}(\lambda \bar{k}_l^2 + 2\mu\bar{\alpha}^2) \cos\left(\bar{\alpha} \frac{b}{2}\right) + \bar{D} 2\mu\bar{\beta} ik \cos\left(\bar{\beta} \frac{b}{2}\right).$$

Из полученных уравнений для коэффициентов  $A$  и  $D$  для первой и второй сред составим детерминант и приравняем его к нулю:

$$\begin{vmatrix} ik \cos \alpha \left(\frac{a}{2}\right) & -\beta \cos \beta \left(\frac{a}{2}\right) & ik \cos \bar{\alpha} \left(\frac{b}{2}\right) + \frac{2\mu \bar{\alpha} ik \sin \bar{\alpha} \left(\frac{b}{2}\right)}{KGT} & \frac{\mu (k^2 - \bar{\beta}^2) \sin \bar{\beta} \left(\frac{b}{2}\right)}{KGT} - \bar{\beta} \cos \bar{\beta} \left(\frac{b}{2}\right) \\ \cos \left(\alpha \frac{a}{2}\right) \left[ 1 + \frac{1}{KGN} \left( \frac{\lambda \bar{k}_l^2 + 2\mu \bar{\alpha}^2}{ik} \right) \right] & -\sin \left(\beta \frac{a}{2}\right) & \cos \left(\bar{\alpha} \frac{b}{2}\right) & -\sin \left(\beta \frac{a}{2}\right) + 2\mu \bar{\beta} \cos \left(\bar{\beta} \frac{b}{2}\right) \\ 4ik\mu\alpha \sin \left(\alpha \frac{a}{2}\right) & -(k^2 - \beta^2) \sin \left(\beta \frac{a}{2}\right) & 4ik\mu\bar{\alpha} \sin \left(\bar{\alpha} \frac{b}{2}\right) & -(k^2 - \bar{\beta}^2) \sin \left(\bar{\beta} \frac{b}{2}\right) \\ (\lambda k_l^2 + 2\mu\alpha^2) \cos \left(\alpha \frac{a}{2}\right) & 2\mu\beta ik \cos \left(\beta \frac{a}{2}\right) & (\lambda \bar{k}_l^2 + 2\mu\bar{\alpha}^2) \cos \left(\bar{\alpha} \frac{b}{2}\right) & 2\mu\bar{\beta} ik \cos \left(\bar{\beta} \frac{b}{2}\right) \end{vmatrix} = 0.$$

Решая данный определитель разложением по первой строке с учетом граничных условий периодичности (5), получим дисперсионное уравнение (7) для продольной волны, распространяющейся перпендикулярно слоям структуры «сталь—графит»:

$$\cos(k_l a) \cos(\bar{k}_l b) \left[ \frac{(\lambda + 2\mu)k_l}{KGT} + 1 \right] + \frac{1 - \chi_1^2}{2\chi_1} \sin(k_l a) \sin(\bar{k}_l b) \left[ \frac{(\bar{\lambda} + 2\mu)\bar{k}_l}{KGN} - 1 \right] - \cos[k(a + b)] = 0, \quad (7)$$

$$\text{где } \chi_1 = \frac{(\bar{\lambda} + 2\mu)\bar{k}_l}{(\lambda + 2\mu)k_l}.$$

Если в данном дисперсионном уравнении (7) устремить коэффициенты жесткости к бесконечности,  $KGT, KGN \rightarrow \infty$ , что будет соответствовать распространению волны в однородной среде, которая описывается классическими неразрывными граничными условиями, то получим дисперсионное уравнение для волны в однородной среде, что согласуется с результатами, представленными в [3].

Дисперсионное уравнение (7) определяет волновое число для продольной волны  $k_l^\perp = \omega / c_l^\perp$ , распространяющейся перпендикулярно слоям структуры. Решая данное уравнение относительно волнового числа, можно построить графическую зависимость скорости продольной волны  $c_l^\perp$  от относительной толщины слоя  $n$  (рис. 5).

Как видно из данной графической зависимости, значение скорости продольной волны в случае распространения перпендикулярно слоям при увеличении относительной толщины слоя начинает возрастать, что согласуется с экспериментальными данными, приведенными в [18, 22]. В случае однородной среды вид данной графической зависимости сохраняется, однако значение скорости продольной волны несколько выше, чем в неоднородной среде, что связано с наличием переотражений волн между слоями и рассеянием на структурных неоднородностях среды [23].

Имея полученные зависимости скорости продольной волны от относительной толщины слоя материала образца контроля, можно перейти к задаче о нахождении скорости поверхностной волны. Однако для рассмотрения этого случая необходимо знать скорости поперечных волн, вертикальной и горизонтальной поляризации. Контроль физико-механических характеристик материала с помощью поверхностной волны имеет очень важное значение, так как в этом случае с достаточной точностью можно получить интересные характеристики [24]. Это обусловлено тем, что

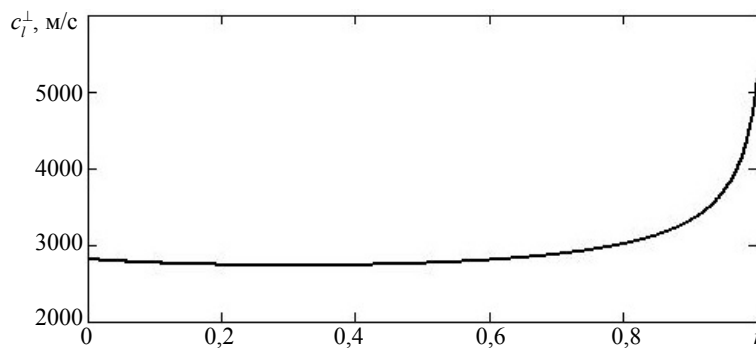


Рис. 5. Зависимость скорости продольной волны от относительной толщины слоя при распространении перпендикулярно слоям.

вся энергия поверхностной волны локализуется в приповерхностном слое образца контроля толщиной порядка двух длин волн, что дает существенную зависимость параметров поверхностной волны от свойств слоя, в котором она распространяется.

### ВЫВОДЫ

1. Показано влияние на абсолютные значения фазовых скоростей продольных волн таких параметров микротрещин, как величина шероховатости, взаимодействующих в приближении «линейного скольжения» краев трещин и других неоднородностей среды.

2. Решена задача о нахождении скорости продольной волны при двух вариантах распространения (параллельно и перпендикулярно слоям) в неоднородной среде с объемной трещиноватостью путем решения относительно волнового числа дисперсионного уравнения.

3. Полученные зависимости используются применительно к задачам нахождения основных физико-механических характеристик материала на основе акустических измерений, а также в качестве основного материала для проведения предизмерительных изысканий с целью получения максимального объема информации без применения средств ультразвукового контроля.

### СПИСОК ЛИТЕРАТУРЫ

1. Аббакумов К.Е., Вагин А.В. Волновые процессы в мелкослоистой среде // Изв. СПбГЭТУ «ЛЭТИ». 2018. № 8. С. 87—91.
2. Рытов С.М. Акустические свойства мелкослоистой среды // Акустический журн. 1956. Т. 2. № 1. С. 71—83.
3. Бреховских Л.М. Волны в слоистых средах. М.: Наука, 1973. 340 с.
4. Jose M. Carcione anisotropic Q and velocity dispersion of finely layered media // Geophysical Prospecting. 1992. V. 40. P. 761—783.
5. Luk'yashko O.A., Saraikin V.A. Transient one-dimensional wave processes in a layered medium // Journal of Mining Science. 2007. V. 43. P. 145—158.
6. Гузь А.Н. Упругие волны в телах с начальными напряжениями. Киев: Наукова думка, 1986. 536 с.
7. Brun M., Guenneau S., Movchan A.B., Bigoni D. Dynamics of structural interfaces: Filtering and focussing effects for elastic waves // J. Mech. Physics Solids. 2010. V. 58. P. 1212—1224.
8. Panasyuk O.N. Propagation of Quasishear Waves in Prestressed Materials with Unbonded Layers // Int. Appl. Mech. 2011. V. 47. P. 276—282.
9. Кристенсен П. Введение в механику композитов. М.: Мир, 1982. 336 с.
10. Guz A.N., Rushitsky J.J. Short Introduction to Mechanics of Nano-composites. Rosemead: Scien. and Academic Publishers, 2013. 280 p.
11. Панасюк О.Н. Анализ влияния граничных условий на распространение волн в слоистых композитных материалах // Прикладная механика. 2014. № 4. С. 52—58.
12. Akbarov S.D., Guliev M.S., Kerpeler T. Propagation of axisymmetric waves in an initially twisted circular compound bimaterial cylinder with a soft inner and a stiff outer constituents // Mech. Comp. Mater. 2011. V. 46. P. 627—638.
13. Khlybov A. A. Studying the Effect of Microscopic Medium Inhomogeneity on the Propagation of Surface Waves // Russian Journal of Nondestructive Testing. 2018. V. 54. No. 6. P. 385—393. [Хлыбов А.А. Исследование влияния микронеоднородности среды на распространение поверхностных волн // Дефектоскопия. 2018. № 6. С. 3—10.]

14. *Петрашень Г.И.* Распространение волн в анизотропных упругих средах. Л.: Наука, 1980. 280 с.
15. *Чабан И.А.* Расчет эффективных параметров микро неоднородных сред методом самосогласованного поля // Акустический журн. 1965. № 1. С. 102—109.
16. *Чабан И.А.* Метод самосогласованного поля в применении к расчету эффективных параметров микро неоднородных сред // Акустический журн. 1964. № 3. С. 351—358.
17. *Аббакумов К.Е., Кириков А.В., Львов Р.Н.* Преломление упругих волн на плоской границе раздела с нарушенной адгезией твердых сред // Изв. СПбГЭТУ «ЛЭТИ». 2003. № 1. С. 10—17.
18. *Evelson R.L.* A fine-layered medium of finite-thickness in an electromagnetic field // Journal of communications technology and electronics. 2015. V. 60. I. 6. P. 552—559.
19. *Вавакин А.С., Салганик Р.Л.* Эффективные упругие характеристики тел с изолированными трещинами, полостями и жесткими неоднородностями // Механика твердого тела. 1978. № 2. С. 95—107.
20. *Шермергор Т.Д.* Теория упругости микро неоднородных сред. М.: Наука, 1977. 400 с.
21. *Floquet M.G.* Sur les equations differentielles lineaires a coefficients periodiques // Annales scientifiques de l'Ecole Normale Supérieure. 1983. V. 12. P. 47—88.
22. *Купрадзе В.Д., Соболев С.Л.* Упругие волны на границах двух сред // Тр. Сейсмического ин-та АН СССР. 1930. № 10. С. 58—67.
23. *Викторов И.А.* Физические основы применения ультразвуковых волн Рэлея и Лэмба в технике. М.: Наука, 1996. 196 с.
24. *Викторов И.А.* Звуковые поверхностные волны в твердых телах. М.: Наука, 1981. 287 с.